

## [95] 鉄筋コンクリート連層耐震壁の靭性の向上に関する実験的研究

正会員 ○高木 仁之（明治大学工学部）

牧 幹夫（明治大学工学部）

正会員 狩野 芳一（明治大学工学部）

### 1. はじめに

曲げ降伏後の耐震壁の靭性については既往の研究で述べられているように、「平均最大せん断応力度 ( $\tau_{max}$ )」、「平均最大せん断応力度／コンクリート強度比 ( $\tau_{max}/F_c$ )」、「曲げ降伏強度／せん断終局強度 (修正荒川式) 比 ( $Q_{CM}/Q_s$ )」等の影響が顕著であるとされ、これらの影響因子を制御することが靭性向上の有効な手段となっている。しかしこれらの影響因子がどのような条件下で支配的になるかについては十分解明されていない。

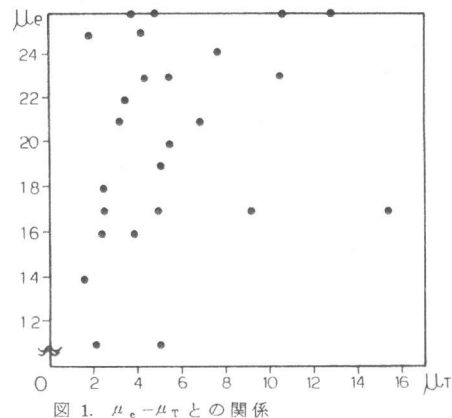
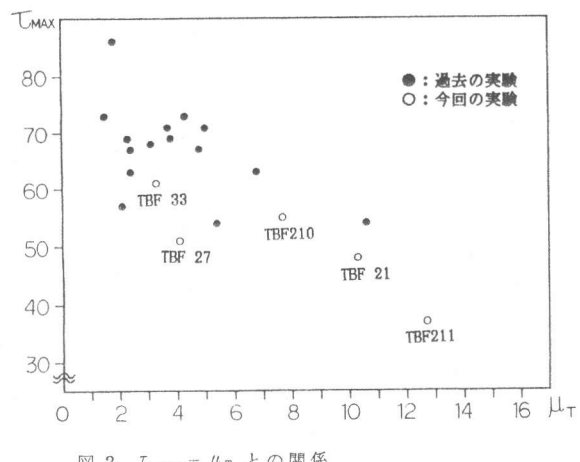
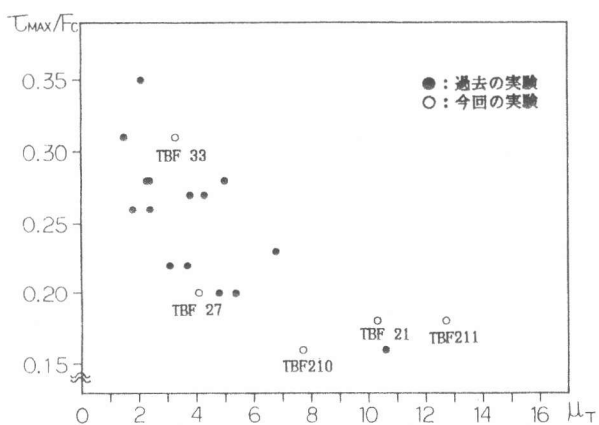
図1は筆者らが今まで行った曲げ降伏した試験体の靭性率を見たもので、縦軸は試験体を片持ばかりとしてe'関数法により算出した脚部曲率による靭性率 ( $\mu_e = \text{終局耐力時曲率} / \text{曲げ降伏時曲率}$ )で、横軸は実験による靭性率 ( $\mu_T = \text{終局時1層水平変位} / \text{曲げ降伏時1層水平変位}$ )でその関係を示した。このように曲げ降伏した試験体であっても曲げ理論による靭性率の向上とは対応していないことがわかる。すなわち曲げ降伏から曲げ終局に至るまでにせん断破壊が生じ靭性率が著しく低下している。そこで前述の各因子と実験の靭性率についての関係を図2～図4に示した。

これらの図より  $\tau_{max}/F_c$  と  $Q_{CM}/Q_s$  が靭性率に対し相関性が高いと見られたため、この2因子についての関係を図5に示した。試験体はほぼ1つのライン上に分布し、両者のいずれが靭性率に支配的であるかを判明していく状態にしていると思われる。

そこで今回の研究は、i)  $Q_{CM}/Q_s$  と  $\tau_{max}/F_c$  のどちらが支配的に靭性率に影響しているか、ii)  $\tau_{max}$  は靭性率

注) 終局耐力時曲率とは、曲げ理論 (e'関数法)において試験体断面の圧縮側縁歪みが、コンクリートの終局歪みに達した時点の曲率。

終局時1層水平変位とは、実験において荷重-変形包絡線より最大耐力以降、耐力低下が20%した時点、あるいは急激に破壊し耐力低下したものについてはその時点とした。

図1.  $\mu_e - \mu_T$  との関係図2.  $\tau_{max} - \mu_T$  との関係図3.  $\tau_{max}/F_c - \mu_T$  との関係

にどの程度の影響を持っているかを実験で明らかにし、次に iii) 鞣性率を決定する他の要因はあるか、について検討を行ったものである。

## 2. 実験概要

試験体の形状・配筋及びコンクリート強度・鉄筋の性質を図 6、表 1、表 2 に示した。試験体は従来の 3 層 1 スパン、1/12 の小型モデルで、 $\tau_{max}/F_c$  を変動させたシリーズと  $\tau_{max}$  を変動させたシリーズの 2 系統に分けて計画した。

$\tau/F_c$  シリーズにおける試験体は、 $Q_{cm}/Q_s$  と  $\tau_{max}/F_c$  のどちらが支配的に鞣性率に影響するかを見ようとするもので、曲げ降伏を先行させるという前提に基づき、 $Q_{cm}/Q_s \approx 0.9$  に固定し、その上で  $\tau_{max}/F_c$  の値を 3 段階に変化させた（試験体名 TBF21、27、33）。

$\tau$  シリーズにおいて試験体は、 $\tau_{max}$  の影響を見ようとするもので、 $Q_{cm}/Q_s$  と  $\tau_{max}/F_c$  との対応するライン上の点 ( $Q_{cm}/Q_s \approx 0.9$ 、 $\tau_{max}/F_c \approx 0.2$ ) に試験体を配置し、その位置において  $\tau_{max}$  ( $kg/cm^2$ ) の値を 40、50、60 と 3 段階に変化させ計画した（試験体名 TBF211、21、210）。

加力方法は文末文献<sup>2)</sup>に掲げたものとほぼ同様なので省略した。

## 3. 実験結果および考察

図 7 図 8 に各シリーズについて、全荷重  $P$  - 1 層水平変位  $\delta$  の包絡線を示した。また破壊状況を図 9 に示した。

各試験体とも 1 層部材角  $3 \sim 4 \times 10^{-3} rad$  で引張側柱主筋の降伏が確認され、その後  $P - \delta$  包絡線は横ばい状態となつた。終局時の破壊状況は  $\tau/F_c$  シリーズでは  $\tau/F_c$  の高いもの程壁脚部の圧潰が著しい。また  $\tau$  シリーズでは  $\tau$  の高いもので壁脚部の圧潰が著しい。

各試験体の終局時変形は、 $P - \delta$  包絡線より定義し最大耐力以降、最大耐力の 20 % の耐力低下をした時点をとり、急激に破壊したものについてはその時点とした。鞣性率は曲げ降伏時変形に対する終局時変形の比とした。その結果を図 2～4 に白丸で示した。

### 1) $\tau_{max}/F_c$ と $\mu_T$ との関係

図 3 を見ると、 $\tau_{max}/F_c$  の値が 0.2 を境として鞣性変化の傾向に大差があるよう見える。したがってこれら 2 つの範囲では鞣性率を支配する要因が違うも

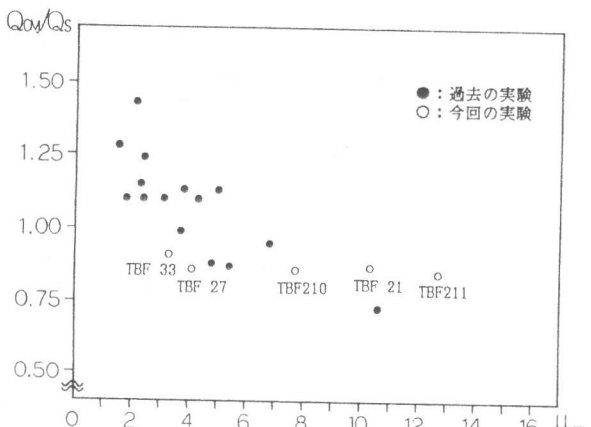


図 4.  $Q_{cm}/Q_s - \mu_T$  との関係

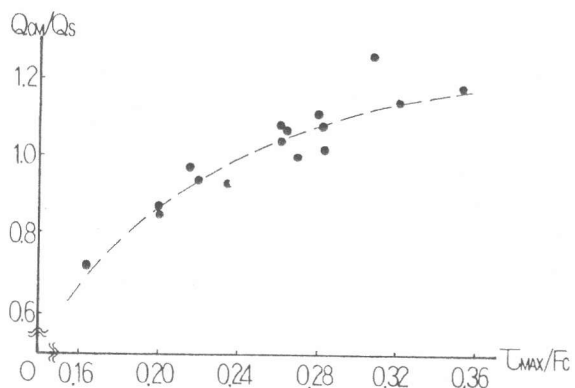


図 5.  $Q_{cm}/Q_s - \tau_{max}/F_c$  の関係

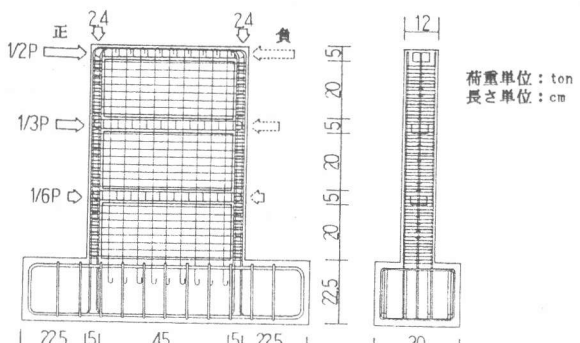


図 6. 試験体形状・配筋

表 1. 試験体配筋一覧

試験体	柱		梁		板		コンクリート強度 (kg/cm²)	
	主筋 %	帶筋 %	主筋 %	帶筋 %	横筋 %	横筋 %		
TBF 33	4-D7 2.61	2-2φ-150 0.34			1-2φ-50φ 0.26	1-2φ-17φ 0.78	2.38	199
TBF 27	6-D7 2.61	2-2.6φ-150 0.73	2-4φ 0.79	2-2φ-25φ 0.31	1-2φ-50φ 0.18	2-2φ-22φ 0.82	3.50	254
TBF 21	3.92				1-2φ-50φ 0.15	1-2φ-26φ 0.30	4.08	269
TBF210	8-D7 5.23	4-2.6φ-160 1.12			1-2φ-50φ 0.14	1-2φ-22φ 0.32	4.42	341
TBF211	4-D7 2.61	2-2φ-150 0.34			1-2φ-50φ 0.15	1-2φ-50φ 0.15	4.11	205

のと考えられる。また TBF33 と TBF27 を比較すると、 $\tau_{max}/F_c$  の差程非性率は変わらないことから、 $\tau_{max}/F_c$  の値が 0.2 以上のものは  $\tau_{max}/F_c$  の他の非性率に有効に作用する因子があると思われる。図 4 をみると、これら 2 つの試験結果がほぼ 1 ケ所に集ることから、 $\tau_{max}/F_c$  が 0.2 以上の場合の非性率は  $Q_{cm}/Q_s$  に支配されるものと考えられる。

## 2) $\tau_{max}$ と $\mu_\tau$ との関係

$\tau$  シリーズでは、 $\tau_{max}$  の減少とともに非性率が急激に上昇している。すなわち、 $\tau_{max}/F_c$  が 0.2 未満の試験体では  $\tau_{max}$  の影響が強いことが分かる。

以上 1)、2)のことから  $\tau_{max}/F_c \geq 0.2$  の試験体では非性率を定量的に推定するには、 $Q_{cm}/Q_s$  が有効な因子となっており、この値が低い程非性率が向上し、 $\tau_{max}/F_c < 0.2$  の試験体では、 $\tau_{max}$  が有効な因子となっており、この値が低い程非性率が向上すると思われる。

## 4. 破壊機構より見た非性率の検討

曲げ降伏後の耐震壁の破壊は、実験結果より圧縮柱脚部のせん断破壊と壁板の圧潰が同時に生じ耐力が急激に低下し終局に至っている。すなわち圧縮柱脚部のせん断耐力、壁板のせん断耐力が非性に影響していると思われる。この破壊モードにおける簡単な破壊機構モデルを図 10 に示した。このモデルは引張柱を純引張材とし、壁板はひび割れ後圧縮プレースとして働く斜材とし、また圧縮柱脚部を剛強な形フレームに接続する短柱として表わした。以下にせん断耐力の釣り合い式を示した。

$$Q_y = Q_{wc} + Q_c \quad \dots \dots \dots \quad ①$$

$Q_y$  : 曲げ降伏時のせん断耐力

$Q_{wc}$  : 壁板の圧縮斜材によるせん断耐力

$$Q_{wc} = N_w \cos \theta \quad \dots \dots \dots \quad ②$$

$N_w$  は圧縮斜材の軸方向力

$\theta$  は圧縮斜材の水平面とのなす角度

$Q_c$  : 圧縮柱脚部を短柱としたせん断耐力

$$Q_c = \left[ \frac{0.12 k_u \cdot k_p (180 + F_c)}{M/Q_d + 0.12} + 2.7 \sqrt{P_{ww} \sigma_y} + 0.1 N / b D \right] b_j \quad [文献 3]$$

表 2. 鉄筋の性質

	断面積 (mm <sup>2</sup> )	降伏強度 (kg/cm <sup>2</sup> )	ヤング率 (kg/cm <sup>2</sup> )	引張強度 (kg/cm <sup>2</sup> )
2φ	3.14	3185	$1.87 \times 10^6$	3981
2.6φ	5.31	3298	$2.06 \times 10^6$	3957
4φ	12.57	2574	$1.93 \times 10^6$	3741
D7	39.20	2900	$1.93 \times 10^6$	4058

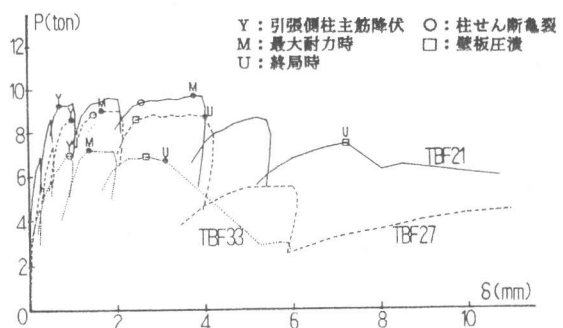


図 7.  $\tau/F_c$  シリーズ  $P-\delta$  曲線

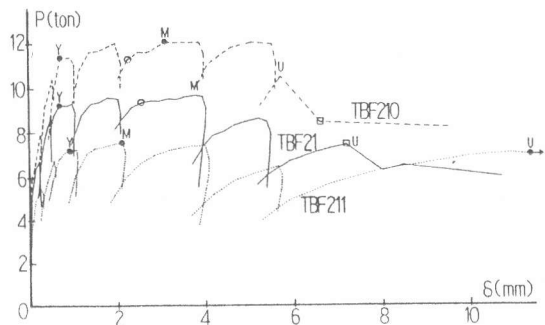


図 8.  $\tau$  シリーズ  $P-\delta$  曲線

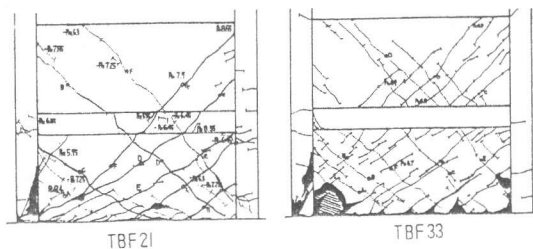
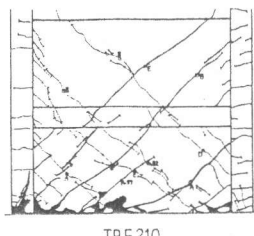
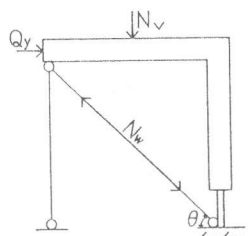


図 9. 破壊状況



N : 試験体の降伏時 ( $Q_y$ ) の圧縮柱脚部の軸力  
 $M/Q_d$  : 観察されたひびわれ状況から  $M/Q_d = 1$  と仮定

このようにして算出した圧縮柱のせん断耐力 ( $Q_{w_c}$ ) は、曲げ降伏時のせん断耐力 ( $Q_y$ ) に対し、約 30 ~ 50 % の範囲にあり、圧縮柱のせん断耐力の占める割合が高いことが注目される。

ここで壁板のトラス圧縮斜材によるせん断耐力 ( $Q_{w_c}$ ) についてみると、 $Q_{w_c}$  に達したとき、斜材のコンクリートは圧縮強度  $F_c$  に達しているものと仮定すると②式は以下のように表わされる。

$$Q_{w_c} = Q_y - Q_c = N_w \cos \theta = B t F_c \cos \theta$$

B : トラス圧縮斜材の有効幅 ..... ③

t : 壁厚

次にトラス圧縮斜材の有効幅 (B) を③式より算出すると、 $B = Q_{w_c} / (t \cdot F_c \cdot \cos \theta)$  で表わされる。この有効幅 (B) と靱性率の関係を図 11 に示した。このように有効幅 (B) が増加すると靱性率は小さくなり、靱性率に有効幅 (B) が影響していることが解かる。すなわちトラス圧縮斜材の有効幅の増加は、壁板部の圧力場の広がりにつながり圧力場の範囲の広く必要な試験体ほど靱性率が小さいことが示された。

しかし有効幅 6 cm 程で靱性率が急に伸びる現象が表われている。この傾向は図 3、図 4 に示した  $\tau/F_c$ 、 $Q_{CM}/Q_s$  の現象に類似している。このことより有効幅 (B) は、 $\tau/F_c \leq 0.2$  の試験体における  $Q_{CM}/Q_s$  の現象を壁板部の耐力に着目してとらえたことになると思われる。

次に破壊機構モデルの切断面で壁横筋が降伏したと仮定し、そのせん断強度 ( $P_w \sigma_{wy th}$ ) を  $Q_{w_c}$  より差し引いて算出した有効幅 (B) を図 12 に示した。有効幅 (B) の傾向は、壁筋比の大きい試験体で減少し、返って有効幅と靱性率の関係を悪化させている。すなわち壁筋比の影響は圧力場のコンクリート強度に及ぼす影響、周辺フレームの拘束効果による影響等も含まれていると思われ、今後の研究課題とした。

## 5. 結 論

スケール効果の影響があり実際の靱性率を定量的にとらえることは出来ないが、定性的に曲げ降伏後の靱性率を支配する要因を示した。すなわち  $\tau_{max}/F_c \leq 0.2$  では  $Q_{CM}/Q_s$  が、 $\tau_{max}/F_c < 0.2$  では  $\tau_{max}$  が有効な因子であり、また前者に対しては破壊機構モデルより壁板部の圧力場の幅が靱性率に大きく影響していることを示した。

## (参考文献)

- 1) 既往の鉄筋コンクリート造耐震壁に関する実験資料とその解析 建設省建築研究所 1975. 3 № 6
- 2) 連層鉄筋コンクリート耐震壁の破壊機構に関する実験的研究 コンクリート工学年次講演会 1979 № 1
- 3) 鉄筋コンクリート終局強度設計に関する資料 シリーズ 2.1 日本建築学会建築雑誌 Vol. 96, № 1174
- 4) 鉄筋コンクリート連層耐震壁の靱性の向上に関する実験的研究 日本建築学会大会学術講演梗概集昭和59年10月

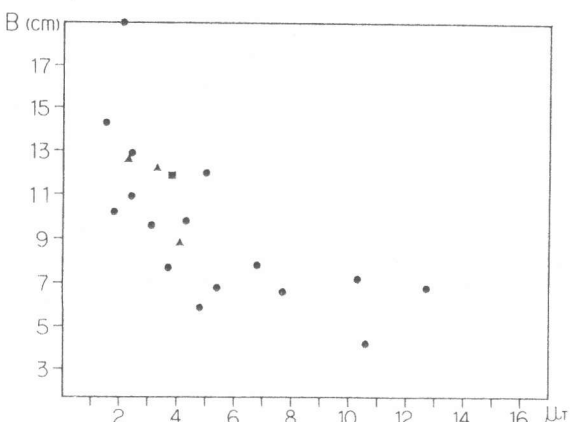


図 11. 壁板の圧縮斜材の有効幅 (B)

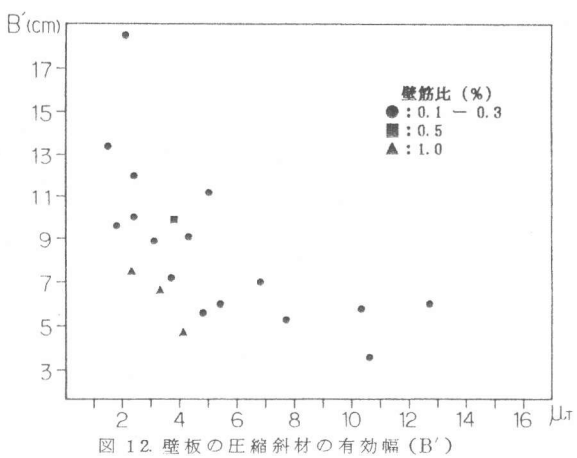


図 12. 壁板の圧縮斜材の有効幅 (B')